

Документ подписан простой электронной подписью

Информация о владельце:

ФИО: Локтионова Оксана Геннадьевна

Должность: проректор по учебной работе

Дата подписания: 20.12.2021 10:42:58

Уникальный программный ключ:

0b817ca911e6668abb15a50426d39e5f1c11eabb173e943d14a4851fda56d089

МИНОБРНАУКИ РОССИИ

Федеральное государственное бюджетное образовательное
учреждение высшего профессионального образования
«Юго-Западный государственный университет»
(ЮЗГУ)

Кафедра телекоммуникаций

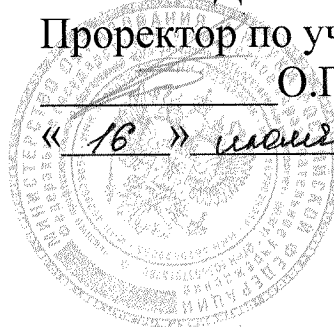
УТВЕРЖДАЮ

Проректор по учебной работе

О.Г. Локтионова

« 16 » июля

2013 г.



ИССЛЕДОВАНИЕ СПЕКТРОВ СИГНАЛОВ

Методические указания
по выполнению лабораторной работы № 1
по курсу «Общая теория связи»

Курск 2013

УДК 621.391 (075)

Составители: С.Г. Лукьянюк, И.Г. Бабанин, С.С. Хотынюк

Рецензент

Кандидат технических наук, старший научный сотрудник,
профессор кафедры *А.М. Потапенко*

Исследование спектров сигналов: методические указания по выполнению лабораторной работы № 1 по курсу «Общая теория связи» / Юго-Зап. гос. ун-т; сост.: С.Г. Лукьянюк, И.Г. Бабанин, С.С. Хотынюк. Курск, 2013. 12 с.: ил. 5.

Содержат методические указания по выполнению лабораторной работы № 1 «Исследование спектров сигналов» по курсу «Общая теория связи».

Методические указания соответствуют требованиям типовой программы, утверждённой УМО по направлению подготовки 210700.62 «Инфокоммуникационные технологии и системы связи».

Предназначены для студентов направления подготовки 210700.62 «Инфокоммуникационные технологии и системы связи» дневной формы обучения.

Текст печатается в авторской редакции

Подписано в печать . Формат 60x841/16.
Усл. печ. л. 07 . Уч.-изд. л. 06 . Тираж 100 экз. Заказ. 18 Бесплатно
Юго-Западный государственный университет.
305040, г. Курск, ул. 50 лет Октября, 94.

Оглавление

1. Цель работы	4
2. Краткая характеристика исследуемых цепей и сигналов	4
3. Домашнее задание	4
4. Основы теории	5
5. Лабораторное задание	10
6. Методические указания	10
7. Отчёт	11
8. Контрольные вопросы	12

1 Цель работы

Исследование формы и спектра гармонических сигналов и периодических последовательностей импульсов. Формирование навыков спектрального анализа сигналов с помощью ПК.

2 Краткая характеристика исследуемых цепей и сигналов

В работе используются блоки ИСТОЧНИКИ СИГНАЛОВ, сумматор (Σ) и КОДЕК-1 универсального лабораторного стенда.

Источниками простейших гармонических сигналов с частотами 1 и 2 кГц являются гнезда « ~ 1 кГц» и « ~ 2 кГц» (два левых верхних гнезда стенда), а также сигналы от встроенного диапазонного генератора ГЕНЕРАТОР НЧ.

Источниками сигналов сложной формы, состоящих из двух гармоник (2 и 4 кГц, 2 и 6 кГц), являются гнезда S1, S2 и S3. Два последних сигнала отличаются фазой третьей гармоники. Все сигналы стенда (кроме встроенного диапазонного генератора) получены от общего кварцевого генератора путем деления частоты и жестко синхронизированы.

Источником импульсной последовательности является блок КОДЕР-1, позволяющий формировать произвольную пятисимвольную последовательность, повторяющуюся с периодом $17T$, где $T = 450$ мкс – длительность одного символа.

В качестве измерительных приборов используются: встроенный вольтметр стенда, двухлучевой осциллограф и ПК в режимах двухлучевого осциллографа и анализатора спектра.

3 Домашнее задание

3.1 Изучите по конспекту лекций и литературе разделы о спектрах сигналов:

- Лукьянюк, С. Г. Теория электрической связи. Сигналы, помехи и системы передачи: учебное пособие. / С. Г. Лукьянюк, А. М. Потапенко / Юго-Зап. гос. ун-т. Курск, 2012. 235 с.;

- Баскаков, С.И. Радиотехнические цепи и сигналы. – М.: Высшая школа, 2005, с 38 – 60;

- Гоноровский, И.С. Радиотехнические цепи и сигналы. – М.: Советское радио, 1977, с. 31 - 39.

3.2 Проведите необходимые расчёты спектров исследуемых сигналов.

4 Основы теории

4.1 Гармонический анализ периодических колебаний

Периодическую функцию $x(t) = x(t - nT)$ (T – период повторения) можно представить суммой гармонических колебаний с частотами, кратными основной частоте $f_1 = 1/T$ ($\omega_1 = 2\pi/T$) с амплитудами A_k и начальными фазами φ_k (ряд Фурье):

$$x(t) = \sum_{k=0}^{\infty} A_k \cos(k\omega_1 t - \varphi_k),$$

где $A_k = \sqrt{a_k^2 + b_k^2}$, $\varphi_k = \arctg \frac{b_k}{a_k}$,

a_k и b_k – коэффициенты разложения функции $x(t)$ в ряд Фурье:

$$a_k = \frac{2}{T} \int_{-\frac{T}{2}}^{\frac{T}{2}} x(t) \cos(k\omega_1 t) dt, \quad b_k = \frac{2}{T} \int_{-\frac{T}{2}}^{\frac{T}{2}} x(t) \sin(k\omega_1 t) dt.$$

Совокупность амплитуд A_k ($k = 0, 1, 2, \dots$) образует **амплитудный спектр сигнала**, а совокупность фаз φ_k ($k = 0, 1, 2, \dots$) – фазовый спектр сигнала. Линейчатый амплитудный спектр периодического сигнала $x(t)$ изображён на рисунке 1.

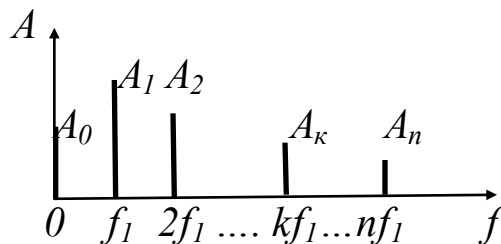


Рисунок 1 – Линейчатый амплитудный спектр периодического сигнала

4.2 Спектр прямоугольных импульсов

При выборе начала отсчёта времени по рисунку 2 функция является чётной.

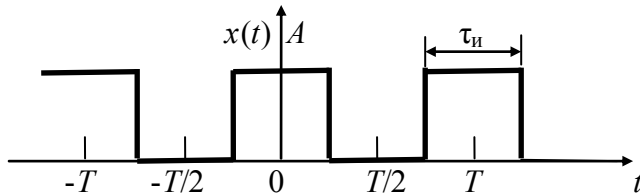


Рисунок 2 – Периодическая последовательность прямоугольных импульсов

Определим коэффициенты разложения в ряд Фурье a_k и b_k :

$$a_k = \frac{2}{T} \int_{-\frac{\tau_n}{2}}^{\frac{\tau_n}{2}} A \cos k\omega_1 t dt = \frac{2A}{T} \cdot \frac{\sin k\omega_1 t}{k\omega_1} \Big|_{-\frac{\tau_n}{2}}^{\frac{\tau_n}{2}} = \frac{4A}{k\omega_1 T} \cdot \sin \frac{k\omega_1 \tau_n}{2};$$

$T/\tau_n = q$ – скважность последовательности;

$$a_k = \frac{2A}{q} \cdot \frac{\sin \frac{k\omega_1 \tau_n}{2}}{\frac{k\omega_1 \tau_n}{2}} = \frac{2A}{q} \cdot \sin c \left(\frac{k\omega_1 \tau_n}{2} \right) = \frac{2A}{q} \cdot \sin c \left(\frac{\pi k}{q} \right); \quad a_0 = \frac{2A}{q};$$

$$b_k = \frac{2}{T} \int_{-\frac{\tau_n}{2}}^{\frac{\tau_n}{2}} x(t) \sin(k\omega_1 t) dt = 0 \quad (\text{подынтегральная функция нечётная}).$$

Ряд Фурье запишем для заданного сигнала в виде

$$\begin{aligned} x(t) &= \frac{a_0}{2} + a_1 \cos \omega_1 t + a_2 \cos 2\omega_1 t + a_3 \cos 3\omega_1 t + \dots + a_k \cos k\omega_1 t = \\ &= \frac{A}{q} \left[1 + 2 \sum_{k=1}^{\infty} \sin c \left(\frac{\pi k}{q} \right) \cos k\omega_1 t \right]. \end{aligned}$$

Для $q = 2$ коэффициенты a_k равны:

$$a_0 = A, \quad a_k = A \sin c\left(\frac{k\omega_1\tau_u}{2}\right) = A \sin c\left(\frac{\pi k}{2}\right), \quad \text{при } k > 0.$$

Спектр этой последовательности показан на рисунке 3. Обобщённый амплитудный спектр произвольной периодической импульсной последовательности представлен на рисунке 4.

Ширина спектра сигнала равна, в данном случае, $\Delta\omega = 2\pi/\tau_u$ ($\Delta f = 1/\tau_u$).

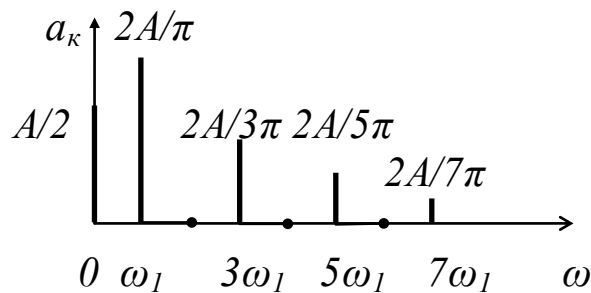


Рисунок 3 – Амплитудный спектр периодического сигнала ($q = 2$)

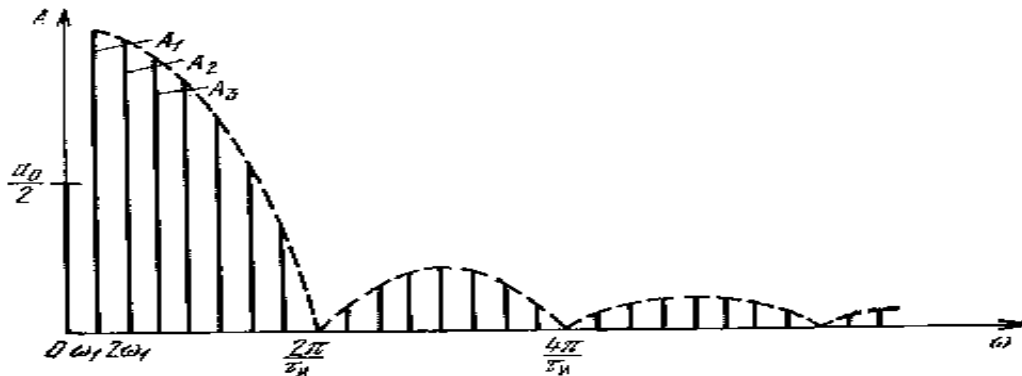


Рисунок 4 – Амплитудный спектр периодической импульсной последовательности

Из последнего рисунка видно: при больших значениях скважности q спектр сигнала содержит большое число медленно убывающих по амплитуде гармоник; расстояние между соседними гармониками очень мало, а их амплитуды близки по величине. В спектре отсутствуют гармоники с частотой $\omega = 2n\pi/\tau_u$, $n = 1, 2, \dots$ Чем короче импульс (меньше его длительность τ_u), тем шире спектр сигнала $\Delta\omega$, т.е. ширина спектра определяется только длительностью импульса τ_u .

4.3 Гармонический анализ непериодических функций

Разложение в тригонометрический ряд Фурье обобщается на случай непериодических функций $x(t)$ путём устремления $T \rightarrow \infty$ или $f_1 = 1/T \rightarrow 0$:

$$x(t) = \int_{-\infty}^{\infty} \dot{S}(f) e^{j2\pi ft} df = \frac{1}{2\pi} \int_{-\infty}^{\infty} \dot{S}(\omega) e^{j\omega t} d\omega,$$

где $\dot{S}(f) = \int_{-\infty}^{\infty} x(t) e^{-j2\pi ft} dt$ – спектральная плотность (СП) непериодического сигнала,

$\Delta f = f_1 = 1/T$ – частотный разнос между линиями спектра периодического сигнала,

т. е. непериодическая функция $x(t)$ представляется суммой гармонических компонент $e^{j2\pi ft}$ (на положительных и отрицательных частотах) с бесконечно малыми амплитудами $\dot{S}(f) df$. Модуль $|\dot{S}(f)|$ определяет сплошной (непрерывный) спектр непериодического сигнала, а $\arg \dot{S}(f) = \varphi(f)$ – сплошной (непрерывный) фазовый спектр непериодического сигнала.

4.4 Спектральная плотность прямоугольного видеоимпульса

Прямоугольный импульс, определяемый выражением:

$$s(t) = \begin{cases} A & \text{при } -\frac{\tau_{\text{и}}}{2} \leq t \leq \frac{\tau_{\text{и}}}{2}, \\ 0 & \text{при } t < -\frac{\tau_{\text{и}}}{2} \text{ и } t > \frac{\tau_{\text{и}}}{2}, \end{cases}$$

представлен на рисунке 5.

Спектральную плотность прямоугольного видеоимпульса равна (рисунок 5, б):

$$\begin{aligned} \dot{S}(\omega) &= \int_{-\frac{\tau_{\text{и}}}{2}}^{\frac{\tau_{\text{и}}}{2}} A e^{-j\omega t} dt = -\frac{A}{j\omega} \left(e^{-\frac{j\omega\tau_{\text{и}}}{2}} - e^{\frac{j\omega\tau_{\text{и}}}{2}} \right) = \frac{2A}{\omega} \sin \frac{\omega\tau_{\text{и}}}{2} = \\ &= A\tau_{\text{и}} \left[\frac{\sin \frac{\omega\tau_{\text{и}}}{2}}{\frac{\omega\tau_{\text{и}}}{2}} \right] = A\tau_{\text{и}} \cdot \text{sin c} \left(\frac{\omega\tau_{\text{и}}}{2} \right). \end{aligned}$$

Произведение $A\tau_{\text{и}}$, равное площади импульса, определяет значение спектральной плотности импульса при $\omega = 0$, т. е. $\dot{S}(0) = A\tau_{\text{и}}$. Этот вывод распространяется на импульсы произвольной формы.

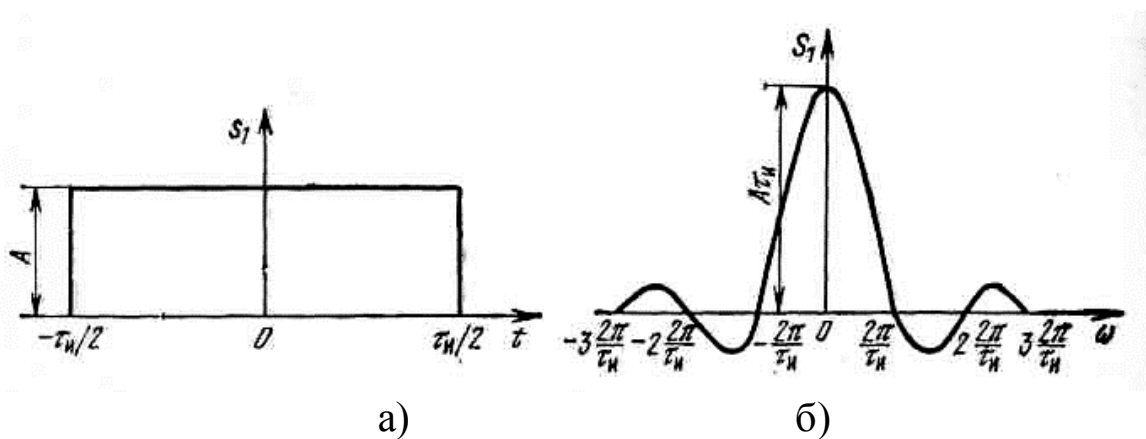


Рисунок 5 – Диаграмма а) и график спектральной плотности б) прямоугольного видеоимпульса

При удлинении импульса (увеличении длительности $\tau_{\text{и}}$) расстояние между нулями функции $S(\omega)$ сокращается, что равносильно сужению спектра. Значение $S(0)$ при этом возрастает. При укорочении импульса (уменьшении длительности $\tau_{\text{и}}$), наоборот, расстояние между нулями функции $S(\omega)$ увеличивается (расширение спектра), а значение $S(0)$ уменьшается.

Около 90% всей энергии импульса сосредоточено в полосе частот от 0 до $f_1 = 1/\tau_{\text{и}}$.

5 Лабораторное задание

5.1 Наблюдайте осциллограммы и измерьте спектры простых гармонических сигналов.

5.2 Исследуйте форму и спектры сложных гармонических сигналов.

5.3 Исследуйте связь формы и спектра периодических последовательностей прямоугольных импульсов.

6 Методические указания

6.1 Исследование моногармонического сигнала.

6.1.1 Подключите осциллограф к гнезду « ~ 1 кГц» стенда. Ручку регулятора уровня сигнала установите в среднее положение. Зафиксируйте в отчете осциллограмму сигнала и измерьте его период по делениям на экране с учётом цены деления (мкс/дел.) переключателя развертки.

6.1.2 С помощью специального кабеля из комплекта стенда соедините гнездо « ~ 1 кГц» со входом ПК, расположенным в нижней части стенда правее сменного блока.

Анализ спектров проводите с помощью ПК, используя программу «Спектроанализатор».

Зафиксируйте в отчёте спектр сигнала, указав условия эксперимента, амплитуды (в делениях) и точные значения частот спектральных линий (в обозначениях на стенде – округленные значения частот).

6.2 Исследование сложных гармонических сигналов

6.2.1 Подключите сигнал с гнезда S_1 блока ИСТОЧНИКИ СИГНАЛОВ на вход осциллографа, зафиксируйте форму исследуемого сигнала $s_1(t)$, определите его период. Подайте сигнал на вход ПК, зафиксируйте амплитуды и частоты спектральных составляющих сигнала.

6.2.2 Повторите выполнение работ по п. 6.2.1 для сигналов S_2 и S_3 .

6.2.3 Подайте на один из входов сумматора (Σ) стенда сигнал S_2 , на второй его вход – сигнал с гнезда « ~ 1 кГц». Наблюдая осциллограмму сигнала на выходе сумматора, плавно увеличьте уро-

вень сигнала « ~ 1 кГц», добиваясь заметного изменения формы суммарного сигнала. Зафиксируйте осциллограмму (с указанием периода) и спектр полученного суммарного сигнала.

6.3 Подайте сигнал с выхода « ~ 1 кГц» ИСТОЧНИКА СИГНАЛОВ и сигнал с частотой 1,3 кГц от встроенного ГЕНЕРАТОРА НЧ на входы сумматора, установив напряжение каждого из них по 0,5 В (для контроля напряжения используйте встроенный вольтметр или осциллограф). Подайте суммарный сигнал сначала на осциллограф, зафиксируйте его форму с указанием периода суммарного сигнала, а затем – на вход ПК и зафиксируйте его спектр с указанием амплитуд и частот спектральных составляющих.

6.4 Периодическая последовательность прямоугольных импульсов формируется в блоке КОДЕРА-1. «0» и «1» цифрового сигнала задаются пятью тумблерами ($b_1 - b_5$) со светодиодной индикацией с надписью ПЕРЕДАНО.

6.4.1 Соедините выходные гнезда КОДЕРА-1 со входами осциллографа и ПК.

6.4.2 Наберите в КОДЕРЕ-1 комбинацию 10000 (длительность импульса $T = 450$ мкс, а период – $17T$). Зафиксируйте в отчете форму и спектр сигнала с указанием их параметров.

6.4.3 Повторите работы по п. 6.4.2, изменив комбинацию в КОДЕРЕ-1 на 11000 (длительность импульса $2T$, период – $17T$).

6.4.4 Повторить работы по п. 6.4.2, изменив комбинацию в КОДЕРЕ-1 на 11100 (длительность импульса $3T$, период – $17T$).

7 Отчёт

Отчёт по форме и содержанию должен соответствовать требованиям, изложенным в разделе 3 (Оформление отчётов) Общих положений.

Отчёт по каждому пункту исследований должен содержать:

- 1) структурную схему соединений лабораторной установки для выполнения исследований;
- 2) осциллограмму с указанием периода и амплитуды сигнала;
- 3) спектрограмму с указанием амплитуд и частот спектральных составляющих;
- 4) обобщение результатов и выводы.

8 Контрольные вопросы

- 1) Какова математическая связь формы периодического сигнала и его спектра?
- 2) Какова математическая связь формы непериодических (однократных) сигналов и их спектров?
- 3) Меняется ли спектр сложного сигнала при прохождении его через линейную цепь (например, ФНЧ)?
- 4) Меняется ли форма моногармонического сигнала при прохождении его через линейную цепь?
- 5) Меняется ли форма сложного сигнала при прохождении его через линейную цепь?
- 6) Что такое спектральная плотность амплитуд?
- 7) Влияет ли фазовый спектр сигнала на его форму?
- 8) От каких параметров сигнала и как зависит спектр периодической последовательности прямоугольных импульсов?
- 9) Как связана длительность сигнала и ширина его спектра?
- 10) Имеется ли связь и какая между периодом сложного сигнала и нижней частотой его спектра?